

УДК 532.529.5

**ОПРЕДЕЛЯЮЩИЕ ПАРАМЕТРЫ ПРИ НЕРАВНОВЕСНОМ
ТЕЧЕНИИ ГАЗА С ГОМОГЕННОЙ КОНДЕНСАЦИЕЙ**

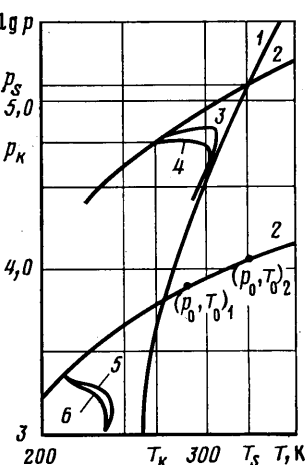
ПИРУМОВ У. Г.

Аналитически получены параметры, определяющие число частиц (кластеров) и их средний радиус и величину переохлаждения в точке начала активной гомогенной конденсации (точке Вильсона). При заданном законе $p=f(T)$ такими параметрами являются температура T_s в точке росы и средняя скорость охлаждения газа $\dot{T}_s = dT/dt$ от точки росы до точки Вильсона.

При этом для $T_s = \text{const}$ и $\dot{T}_s = \text{const}$ процессы неравновесной гомогенной конденсации в $P-T$ -диаграмме, соответствующие различным начальным состояниям после точки Вильсона, приближенно описываются единой кривой. Поэтому параметры T_s и \dot{T}_s являются определяющими для всего процесса неравновесной гомогенной конденсации. Приведены формулы, позволяющие приближенно оценить скорость охлаждения \dot{T} при течениях в соплах и струях. Представлены расчетные результаты стационарного течения в сопле Лаваля и нестационарного сферически-симметричного расширения газового шара в вакуум, демонстрирующие отмеченные закономерности.

Несмотря на большое количество литературы, как периодической, так и монографической, посвященной неравновесной конденсации паров, важный вопрос об определяющих параметрах процесса гомогенной неравновесной конденсации мало изучен [1].

1. Примем, что определяющими являются параметры, от которых зависит температура T_k (либо давление p_k), число частиц N_k и средний радиус в точке Вильсона, которая является точкой начала активной гомогенной конденсации. Условимся называть точкой начала конденсации точку, в которой массовая доля конденсированной фазы $\alpha_i = \text{const}$. Возможны и другие определения точки начала активной конденсации. В частности, можно принять, что в этой точке теплота конденсации составляет заданную долю от энталпии смеси или максимальна величина переохлаждения. Однако можно показать, что для всех приведенных выше условий определяющими параметрами являются T_s и \dot{T}_s . Для наглядности и простоты выкладок примем, что в точке Вильсона $\alpha_i = \alpha_i^k = \text{const}$ и мало $\alpha_i^k \approx 10^{-2} - 10^{-3}$.



Фиг. 1

Процесс неравновесной гомогенной конденсации рассмотрим в $P-T$ -диаграмме. На фиг. 1 представлены для паров воды кривая насыщения $p=p_\infty(T)$ (1), кривая расширения (2) и неравновесный процесс гомогенной конденсации (кривые 3–6). Примем, что конденсация возникает в процессе расширения паров вдоль кривой 2, которая в частном случае может быть адиабатой Пуассона. В точке росы T_s происходит пересечение кривой насыщения с кривой 2, и с этой точки начинается процесс конденсации. Уравнение кривой расширения запишем в виде

$$p = p_s f(T/T_s), \quad f(1) = 1$$

Будем считать, что пересечение кривой насыщения и кривой расширения происходит всегда в одной и той же точке p_s , T_s , при этом начальные состояния (p_0 , T_0) (фиг. 1) (например, состояние покоя), от которых начинается процесс расширения, и градиенты газодинамических параметров в этой точке могут различаться. В силу сказанного при различных p_0 , T_0 в точке p_s , T_s могут различаться и скорости потока и соответственно число Маха.

Предположение о малости α_l^k означает, что от точки T_s до точки T_k давление и температура потока не изменяются из-за процесса конденсации.

Выпишем уравнения, определяющие массовую долю конденсированной фазы α_l , число ядер конденсации N и средний размер частиц r° [2, 3].

$$\frac{d\alpha_l}{dt} = \frac{4\pi}{3} \frac{\rho_l^\circ}{\rho} \left\{ I_0(t) [r^*(t)]^3 + \int_0^t I_0(\tau) \frac{dr^3(\tau, t)}{dt} d\tau \right\} = f_0(p, T) \quad (1.1)$$

$$N = \int_0^t I_0(\tau) d\tau, \quad r^\circ = \left(\frac{3}{4\pi} \frac{\rho}{\rho_l^\circ} \frac{\alpha_l}{N} \right)^{1/3} \quad (1.2)$$

$$\frac{dr}{dt} = \frac{\alpha_k}{\rho_l^\circ} \left[\frac{p}{\sqrt{2\pi R T}} - \frac{p_\infty(T_l)}{\sqrt{2\pi R T_l}} \right]; \quad T_l = F^\circ(p, T) \quad (1.3)$$

$$r^* = \frac{2\sigma v_l}{kT \ln p/p_\infty}; \quad p_\infty = p_\infty(T); \quad \rho = \frac{p}{RT(1-\alpha_l)} \quad (1.4)$$

$$I_0 = \frac{\alpha_k}{p_l^\circ} \left(\frac{p}{kT} \right)^2 \left(\frac{2\sigma\mu}{\pi N_A} \right)^{1/2} \exp \left(-\frac{4\pi r^{*2}\sigma}{3kT} \right) \quad (1.5)$$

Здесь r^* — критический радиус ядер конденсации, определяемый по формуле Томсона, σ — поверхностное натяжение, I_0 — скорость образования ядер критического размера, ρ — плотность смеси, ρ_l° — плотность жидкости, T_l — температура капли, V_l — объем молекулы, α_k — коэффициент конденсации, k — константа Больцмана, N_A — число Авогадро, μ — молекулярная масса, R — газовая постоянная, $p_\infty = p_\infty(T)$ — уравнение кривой насыщения.

Уравнение (1.1) учитывает как образование частиц (кластеров) критического размера в момент времени t (первый член в правой части), так и их рост за счет конденсации от момента времени τ до момента времени t (второй член в правой части).

Уравнения (1.3) описывают изменение радиуса частицы и ее температуры при свободномолекулярном режиме процесса конденсации. Первое из уравнений (1.3) есть уравнение Кнудсена. Для I_0 использовано уравнение классической теории нуклеации [2]. Правые части уравнений (1.1)–(1.5) являются функциями от температуры T и температуры в точке росы T_s при расширении газа от точки росы. Действительно, это имеет место, поскольку $p = p_s f(T/T_s)$, $p_s = p_\infty(T_s)$, а α_l на этом интервале мало. И входящие в формулы величины σ , ρ_l° , α_k и ρ есть функции либо T , либо p и T . Важно отметить, что при изменении закона нуклеации (в частности, конкретного вида формулы для I_0) или закона для скорости роста частиц (формулы для dr/dt) по-прежнему правые части в формулах (1.1)–(1.4) будут функциями лишь от T_s и T при заданных физических константах, характерных для исследуемого газа.

Перепишем с учетом вышесказанного уравнение (1.1) на интервале (T_s, T_k) в виде

$$\frac{d\alpha_l}{dT} = \dot{T}^{-1} f_0(T, T_s) \quad (1.6)$$

где $f_0(T, T_s)$ — правая часть уравнения (1.1).

Примем, что скорость охлаждения \dot{T} постоянна на интервале (T_s, T_k) и равна \dot{T}_s . Ниже будет показано на примере течений в соплах и струях, что это условие выполняется с достаточной точностью. Тогда, интегрируя (1.6) от T_s до T_k при условии $\alpha_l(T_s)=0$, получим

$$\alpha_l^k = \dot{T}_s^{-1} \int_{T_s}^{T_k} f_0(T, T_s) dT = \dot{T}_s^{-1} f^\circ(T_k, T_s) \quad (1.7)$$

Принимая, что в точке Вильсона $\alpha_l^k = \text{const}$, имеем, разрешая относительно T_k нелинейное уравнение (1.7)

$$T_k = \Phi(T_s, \dot{T}_s) \quad (1.8)$$

Из (1.8) следует, что $p_k = p_s(T_k/T_s)$ и, следовательно, $\rho_k = p_k/(1-\alpha_l^k)RT_k$ есть функции T_s и \dot{T}_s . Тогда и величина переохлаждения $\Delta T_k = T_k - T_s = -\Phi(T_s, \dot{T}_s) - T_s$, и величина перенасыщения $s = \ln p_s/p_k$ являются функциями лишь T_s и \dot{T}_s .

Итак, величина переохлаждения (перенасыщения) однозначно определяется при заданном процессе расширения и заданных физических свойствах газа двумя параметрами: T_s и \dot{T}_s , и не зависит от начальных параметров p_{0i} , T_{0i} (при условии, что \dot{T}_s остается неизменной при изменении p_0 и T_0).

Из (1.2), (1.5) и (1.8) следует, что число сконденсированных частиц N_k в точке Вильсона равно

$$N_k = \int_0^t I_0 dt = \dot{T}_s^{-1} \int_{T_s}^{T_k} I_0(T, T_s) dT = \dot{T}_s^{-1} \Phi^\circ(T_k, T_s) = \dot{T}_s^{-1} \Phi_0(T_s, \dot{T}_s) \quad (1.9)$$

Из (1.2) и (1.9) следует, что средний радиус кластеров в точке Вильсона равен

$$r^\circ = \left[\frac{3}{4\pi} \frac{\rho(T_k) \alpha_l^k}{\rho_l^\circ(T_k) N_k} \right]^{1/3} = \Phi_1(T_s, \dot{T}_s) \quad (1.10)$$

Таким образом, число сконденсированных частиц и их средний радиус в точке Вильсона являются функциями тех же определяющих параметров T_s и \dot{T}_s .

Для приложений иногда необходимо сформулировать условия, при которых средний радиус частиц остается постоянным. Из (1.10) следует, что $r^\circ = \text{const}$, если комплекс $\Phi_1(T_s, \dot{T}_s) = \text{const}$. Из этого условия следует, что если $\dot{T} = \text{const}$ в некоторой серии (расчетов или экспериментов), то для соблюдения условия $\Phi_1(T_s, \dot{T}_s) = \text{const}$ нужно обеспечить условие $T_s = \text{const}$, что в свою очередь означает необходимость изменения p_0 и T_0 так, чтобы $p_0 = p_s f(T_0/T_s) = f_\infty(T_s) f(T_0/T_s)$.

Очевидно, что, если расширение происходит по адиабате Пуассона, условие $r^\circ = \text{const}$ будет соблюдено при $p_0 T_0^{-\gamma/(\gamma-1)} = \text{const}$ (γ – отношение удельных теплоемкостей). Отметим, что серия экспериментов в молекулярных пучках, соплах и струях [3] корректируется именно таким образом. Укажем, что часто расширение газа происходит изоэнтропически при условии постоянной энтропии, $S = \text{const}$, однако в таком расширении могут быть заморожены некоторые степени свободы или проявятся реальные свойства газа, в силу чего изоэнтропическое расширение газа не будет подчиняться условию $p_0 T_0^{-\gamma/(\gamma-1)} = \text{const}$, а лишь условию $S(p_0, T_0) = \text{const}$. Тогда корреляции типа $p_0 T_0^{-m}$ могут не иметь места.

Отметим, что определяющими параметрами начальной стадии процесса неравновесной конденсации будут те же параметры T_s и \dot{T}_s , если вместо уравнений (1.1)–(1.5) для описания процесса конденсации использовать

систему уравнений для нахождения функций распределения [2]

$$\frac{\partial f_g}{\partial t} = I_g - I_{g+1}, \quad g = (2, \dots, n) \quad (1.11)$$

где f_g — число кластеров размера g в единице объема смеси, I_g — скорость образования кластеров размера g .

Нетрудно показать, что правая часть уравнения (1.11) также есть функция температур T и T_s . Проделывая далее выкладки, аналогичные приведенным выше, получим, что в точке Вильсона

$$f_g^k = T^{-1} F_g(T_k, T_s), \quad g = (2, \dots, n)$$

и поскольку

$$\alpha_i^k = \frac{4\pi \rho_i}{3} \left(\sum_{g=2}^n r_g^3 f_g^k \right) = T^{-1} \Phi_2(T_k, T_s) = \text{const} \quad (1.12)$$

то по-прежнему T_k и ΔT_k есть функции от T_s и T , для заданного процесса расширения и заданных физических свойств газа. Кроме того, поскольку

$$N_k = \sum_{g=2}^n f_g^k, \quad r^o = \frac{\alpha_i \rho}{4/3 \pi \rho_i} \sum_{g=2}^n f_g^k = R$$

то и r^o является функцией тех же двух определяющих параметров. Соблюдение условия $r^o = \text{const}$ достигается, если комплекс $R = \text{const}$, что при заданном T_s обеспечивается выполнением условия $T_s = \text{const}$, т. е. условия $p_0 = p_\infty(T_s) f(T_0/T_s)$.

Сделаем еще несколько замечаний. Поскольку параметры в точке росы p_s и ρ_s однозначно связаны с T_s , а T_s однозначно связана с $\dot{p}_s = dp/dt$ и $\dot{\rho}_s = d\rho/dt$, то при обработке конкретных расчетных и экспериментальных данных возможно использование и других пар определяющих параметров (p_s, \dot{p}_s), ($\rho_s, \dot{\rho}_s$). Совершенно аналогично оказывается, что определяющие параметры остаются теми же и при других определениях точки Вильсона. Важно подчеркнуть, что приведенный вывод справедлив для любых стационарных и нестационарных технических устройств и процессов, в которых реализуется гомогенная неравновесная конденсация (сопла, струи, камеры Вильсона, диффузионные камеры, стационарные и нестационарные волны разрежения). При этом, если соблюдаются перечисленные выше условия, расчетные или экспериментальные данные, полученные в одних процессах с использованием представленных определяющих параметров, переносятся на другие процессы.

Для иллюстрации приведем сравнение величин переохлаждения ΔT , среднего радиуса кластеров r^o и числа частиц N_k , полученных при расчетах неравновесной гомогенной конденсации паров воды при одномерном стационарном течении в сопле Лаваля, с этими же величинами, полученными при сферически-симметричном расширении газового шара в вакууме. Такое сравнение представлено на фиг. 2.

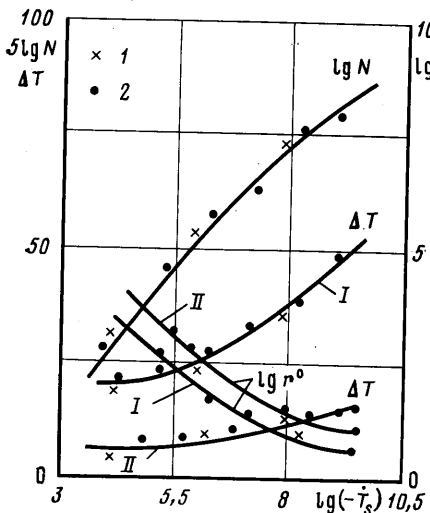
На фиг. 2 точки I относятся к случаю стационарного течения в сопле Лаваля, а точки II — к нестационарному течению при расширении газового шара. Кривая I относится к случаю $T_s = 400$ К, а кривая II — к случаю $T_s = 550$ К. На этой фигуре размерность: r^o — А, N — число частиц в см^3 , ΔT — К, T_s — К/с.

Видно, что при одинаковом изоэнтропическом законе расширения при одинаковых T_s и T_s получены очень близкие значения ΔT , r^o и N_k , несмотря на различие в физическом процессе (стационарное течение в сопле сравнивается с нестационарным процессом расширения газового шара). Приведенные расчеты выполнены А. Л. Иткиным и П. В. Розовским.

Достоверность расчетных методов должна определяться сравнением с экспериментальными данными в широком диапазоне определяющих параметров, поскольку совпадение расчетных и экспериментальных данных при отдельных значениях этих параметров легко получить подгонкой таких пока еще плохо изученных величин, как коэффициент конденсации, поверхностное натяжение и т. д. В [4] для паров воды представлено сравнение большого числа экспериментальных и расчетных данных по величине ΔT в широком диапазоне определяющих параметров: $T_s = 270-500$ К, $T_s = 10^0-10^8$ К/с.

В представленном выше выводе использовалось условие, что скорость охлаждения постоянна от точки росы до точки Вильсона. Это условие может строго не вы-

полняться, поскольку, как будет показано ниже, существенных погрешностей в количественные закономерности не вносит. Кроме того, принималось, что уравнение кривой расширения остается неизменным при изменении начальных состояний r_0 , T_0 . При значительной неравновесности процесса расширения это условие может нарушаться, т. е. пересечения кривой насыщения и кривой расширения могут происходить при различных T_s . Оценки показывают, однако, что для реальных ситуаций изменение T_s незначительно.



Фиг. 2

странство с пониженным давлением, течение Прандтля — Мейера). Однако в случае одномерного стационарного течения в сопле и струе удается получить некоторые аналитические оценки [5].

Определим величину \dot{T} в случае стационарного одномерного течения в сопле или стационарного течения вдоль оси струи. Оба эти случая представляют существенный интерес, поскольку проведено значительное число расчетных и экспериментальных исследований таких течений. Запишем первоначально несколько очевидных соотношений

$$\begin{aligned} \dot{T} &= \frac{dT}{dt} = \frac{dT}{dx} \frac{dx}{dt} = W \frac{dT}{dx} = \frac{a_*}{r_*} \lambda T_0 \frac{d\tau(\lambda)}{dx^\circ} = \\ &= \sqrt{\frac{2\gamma}{\gamma+1}} R T_0 T_0 \lambda \frac{d\tau(\lambda)}{dx^\circ} = \frac{a(\gamma)}{r_*} \lambda T_0^{\gamma/2} \frac{d\tau(\lambda)}{dx^\circ} \end{aligned} \quad (2.1)$$

$$a(\gamma) = \sqrt{\frac{2\gamma}{\gamma+1}} R, \quad x^\circ = \frac{x}{r_*}, \quad \frac{T}{T_0} = \tau(\lambda) = \left(1 - \frac{\gamma-1}{\gamma+1} \lambda^2\right)$$

где W — скорость газа, a_* — скорость звука в минимальном сечении, $\lambda = W/a_*$ — коэффициент скорости, r_* — характерный размер (например, радиус минимального сечения сопла или радиус отверстия при истечении струи), T_0 — температура торможения.

Вдоль оси струи при истечении звукового потока из отверстия выполняется следующее приближенное соотношение, связывающее расстояние от отверстия с числом λ [2]:

$$x^\circ = b(\gamma) [q(\lambda)]^{-1+\gamma/2} \quad (2.2)$$

$$q(\lambda) = \left(\frac{\gamma+1}{2}\right)^{1/(\gamma-1)} \lambda \left(1 - \frac{\gamma-1}{\gamma+1} \lambda^2\right)^{1/(\gamma-1)} = m(\gamma) \lambda \left(1 - \frac{\gamma-1}{\gamma+1} \lambda^2\right)^{1/(\gamma-1)} \quad (2.3)$$

где $q(\lambda)$ — газодинамическая функция.

В формуле (2.2) $v=0$ или 1 для плоского или осесимметричного течения соответственно; $b(\gamma)=1; 1,1; 1,15$ при $\gamma=1,4$; и $1,25$ и $1,14$ для плоского случая и $\gamma=1,17; 1,2$ и $1,25$ для осесимметричного. Соотношение (2.2) означает, что на оси струи реализуется течение, близкое к течению от сверхзвукового источника. В коническом сопле также реализуется течение, близкое к течению от сверхзвукового источника, и имеет место аналогичное соотношение

$$r_0 = \frac{r}{r_*} = [q(\lambda)]^{-1+v/2}; \quad r_0 - 1 = x^\circ \operatorname{tg} \theta \quad (2.4)$$

где r — цилиндрическая координата, а θ — полуугол конического сопла.

Используя (2.2), имеем

$$\frac{d\tau}{dx^\circ} = - \frac{2(\gamma-1)\lambda^2\tau(\lambda)}{(\gamma+1)(-1+v/2)(1-\lambda^2)x^\circ} \quad (2.5)$$

Тогда после некоторых преобразований из (2.1) и (2.5) получим

$$\begin{aligned} T = \frac{dT}{dt} &= \frac{c(\gamma, v)}{r_*} \left[T_0 \left(\frac{T}{T_0} \right)^{2-v/(\gamma-1)} T^2 \left(1 - \frac{T}{T_0} \right)^{4-v/2} \right]^{1/2} \times \\ &\times \left[1 - \frac{\gamma+1}{\gamma-1} \left(1 - \frac{T}{T_0} \right) \right]^{-1} \\ c(\gamma, v) &= - \frac{2a(\gamma) [(\gamma+1)/(\gamma-1)]^{v/2(2-v/2)}}{(-1+v/2)b(\gamma)[m(\gamma)]^{-1+v/2}} \end{aligned} \quad (2.6)$$

В случае течения в коническом сопле в формуле (2.6) в знаменателе вместо r_* появляется множитель $r_* \operatorname{ctg} \theta$.

Из (2.6) следует, что при $T=T_s=\text{const}$ \dot{T} зависит от r^* и T_0 , но изменение T_0 незначительно влияет на \dot{T} . Это влияние уменьшается с увеличением γ и оно слабее в осесимметричном случае, чем в плоском. Формула (2.6) позволяет оценить изменение \dot{T} на интервале от точки росы T_s до точки Вильсона T_k . Поскольку обычно отношение T_s/T_k не превышает 1,5, то величины \dot{T} в точках росы и Вильсона различаются незначительно. Из (2.6) и прямых численных расчетов [4] следует, что \dot{T} слабо зависит от T_0 .

Из (2.6) следует, что скорость охлаждения \dot{T} можно существенно изменить, варьируя величину r_* (при течении в струе) или $r_* \operatorname{ctg} \theta$ (при течении в сопле).

Отметим, что изменение T_0 при $T_s=\text{const}$ эквивалентно изменению скорости потока и, следовательно, числа Маха M_s в точке росы.

Из изложенного выше следует тогда, что скорость потока и число Маха практически не влияют на величину переохлаждения (перенасыщения), число сконденсированных частиц и их средний размер в точке Вильсона. Исключение составляют лишь трансзвуковые течения при числах $M \approx 1$, поскольку в этом случае несправедливы формулы (2.2) и (2.4). Прямые расчетные исследования подтверждают этот вывод. Так, при $T_s=300$ К для паров воды изменение T_0 от 3900 до 410 К и соответственно M_s от 8,5 до 1,5 привело к изменению ΔT_k всего на 5–7 К.

Расчетные и экспериментальные данные показывают, что основным определяющим параметром является температура в точке росы T_s , изменение которой существенно влияет на величину переохлаждения, число скон-

денсированных частиц и их средний размер [4]. Влияние скорости охлаждения \dot{T}_s менее значительно.

3. Рассмотрим теперь процесс неравновесной гомогенной конденсации пара с заданными физическими свойствами в $P-T$ -диаграмме. Будем рассматривать класс процессов, которые различаются начальными состояниями (p_{0i}, T_{0i}) (фиг. 1), но обладают общим законом изменения термодинамических параметров $p=p_{sf}(T/T_s)$ от точки росы T_s до точки Вильсона, заданной температурой T_s и заданной скоростью охлаждения \dot{T}_s .

Выше было показано, что такого рода процессы обладают одинаковыми значениями давления p_k , температуры T_k и плотности ρ_k в точке Вильсона, а также массовой доли конденсата α_l^k , числом сконденсированных кластеров N_k и их средним радиусом r^k .

Рассмотрим, каким образом будут описываться эти процессы в $P-T$ -диаграмме ниже точки Вильсона. Выпишем с этой целью уравнение энергии в следующем виде:

$$dh = \frac{dp}{\rho} \quad h(\alpha_l, T) = (1-\alpha_l)h_v(T) + \alpha_l h_l(T_l) \quad (3.1)$$

Здесь h — энталпия смеси в случае идеального газа, а h_v и h_l — энталпия жидкости и пара соответственно. И поскольку $h_l - h_v = -L$, а $h_v = c_p T$ (где c_p — теплоемкость пара, а L — теплота конденсации), то имеем

$$h = c_p T - L\alpha_l + c_p \alpha_l (T_l - T) \quad (3.2)$$

Используя (1.1), перепишем уравнение (3.1) в виде

$$\frac{1}{\rho} \frac{dp}{dT} = \frac{\partial h}{\partial T} + \frac{\partial h}{\partial \alpha_l} \frac{\partial \alpha_l}{\partial T} = \frac{\partial h}{\partial T} + \frac{\partial h}{\partial \alpha_l} f_0(p, T) \dot{T}^{-1} \quad (3.3)$$

Из (3.3), пренебрегая членом $c_p \alpha_l (T_l - T)$ (поскольку α_l и $(T_l - T)$ малы) и используя уравнение состояния, имеем

$$\frac{R}{c_p} \frac{d \ln p}{d \ln T} = 1 + \frac{L}{c_p} f_0(p, T) \dot{T}^{-1} \quad (3.4)$$

$$\frac{d\alpha_l}{dT} = \dot{T}^{-1} f_0(p, T) \quad (3.5)$$

Система уравнений (3.4), (3.5) при заданных начальных данных p_k , T_k и α_l^k и заданной величине \dot{T} описывает процесс неравновесной гомогенной конденсации в $P-T$ -диаграмме. Интегрируя эту систему, имеем

$$p = p(T, p_k, T_k, \alpha_l^k, \dot{T}); \quad \alpha_l = \alpha_l(T, p_k, T_k, \alpha_l^k, \dot{T}) \quad (3.6)$$

Так как в рассматриваемых процессах p_k , T_k , α_l^k и \dot{T} одинаковы и если, кроме того, скорости охлаждения \dot{T} различаются незначительно, то в $P-T$ -диаграмме эти процессы будут описываться близкими кривыми. Поскольку, согласно (3.6) в этих процессах зависимости α_l от температуры близки, поскольку и число кластеров и их средний размер также близки. Таким образом, предложенные выше параметры T_s и \dot{T}_s определяют не только параметры в точке Вильсона, но и весь процесс неравновесной конденсации в $P-T$ -диаграмме. Отметим, что условие близости \dot{T} не строго обосновано, но в реальных ситуациях, как правило, выполняется.

Указанные закономерности были подтверждены прямыми расчетами процесса неравновесной гомогенной конденсации паров воды в соплах [5]. На фиг. 1 представлены результаты этих расчетов при $\dot{T}_s = 2 \cdot 10^5$ К/с, при этом для кривых 3 и 4 $T_s = 323$ К, а $T_0 = 336$ и 1170 К соответственно для кривых 5 и 6 $T = 273$ К, а $T_0 = 284$ и 985 К. Числа Маха в точках росы

$M_s=0,5$ (кривые 3, 5) и $M_s=4$ (кривые 4, 6). Значения $p_0 \cdot 10^{-5}$ для кривых 3–6 равны $1,45 \cdot 10^{-4}$; 22; $7,2 \cdot 10^{-3}$, 1,09 Па. Из фиг. 1 следует, что несмотря на значительное различие в начальных состояниях и числах M_s , кривые 3 и 4, а также 5 и 6, соответствующие одинаковым значениям T_s и T_s' в $P-T$ -диаграмме, весьма близки.

ЛИТЕРАТУРА

1. Горбунов В. Н., Пирумов У. Г., Рыжов Ю. А. Исследование гомогенной конденсации газа.— 6-я Всес. конф. по динамике разреженных газов. Тез. докл. Новосибирск: Ин-т теплофизики СО АН СССР, 1979, с. 157.
2. Френкель Я. И. Кинетическая теория жидкостей. М.: Изд-во АН СССР, 1975. 592 с.
3. Katake S., Glass I. I. Flow with nucleation and condensation.— In: Progr. Aerospace Sci., 1981, v. 19, № 2, p. 129–196.
4. Иткин А. Л., Пирумов У. Г., Рыжов Ю. А. Исследование неравновесной гомогенной конденсации воды в волнах разрежения с учетом реальных свойств.— В сб.: Высокотемпературная газодинамика, ударные трубы и ударные волны. Минск: Ин-т тепло- и массообмена, 1983, с. 112–118.
5. Пирумов У. Г., Росляков Г. С. Течения газа в соплах. М.: Изд-во МГУ, 1978. 351 с.

Москва

Поступила в редакцию
8.V.1984